

## LISTA 2

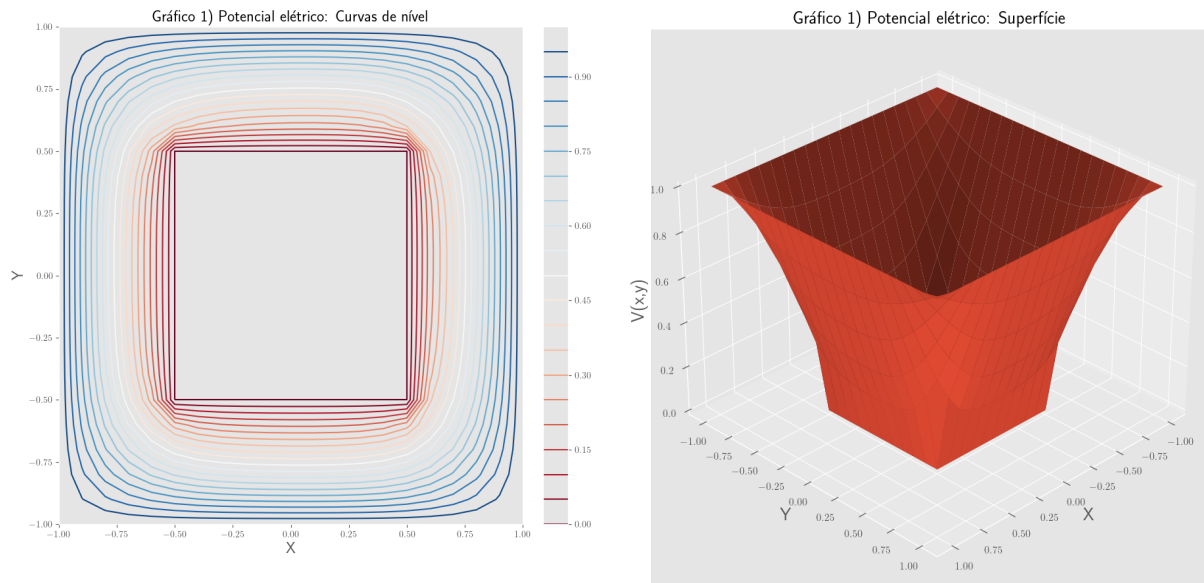
**Pedro Zilves Maio Ventura**

Instituto de Física - Universidade Federal do Rio de Janeiro

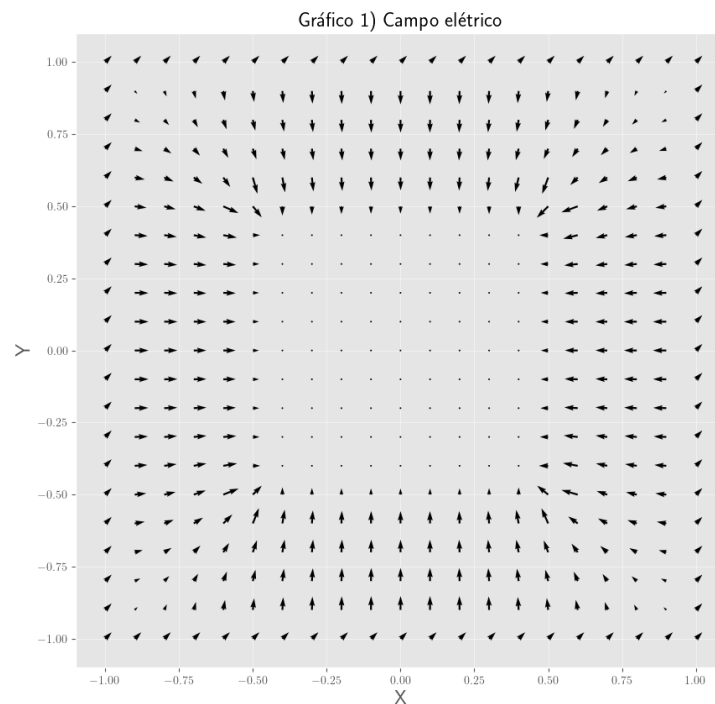
e-mail: pedrozventura@gmail.com

### 1. QUESTÃO 1: CAIXA COM POTENCIAL $V=1$ NAS PAREDES E QUADRADO PREENCHIDO COM POTENCIAL $V=0$ .

Abaixo, encontra-se gráficos do potencial elétrico  $V(x,y)$  na forma de curvas de nível na esquerda e como uma superfície em 3D na direita:



Para o campo elétrico temos:

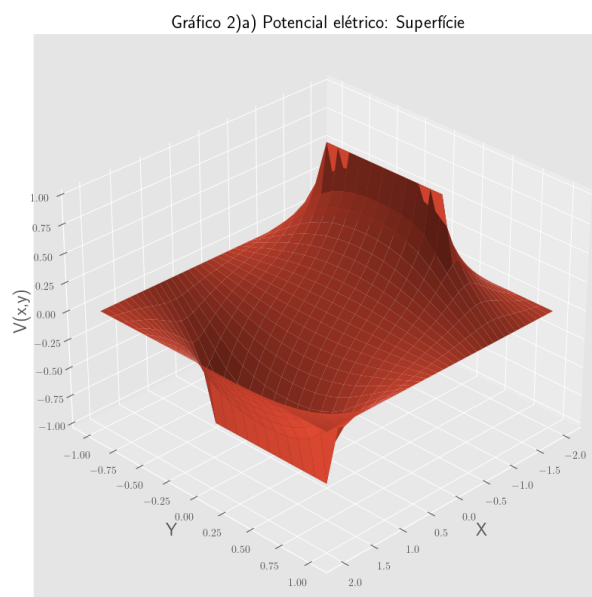
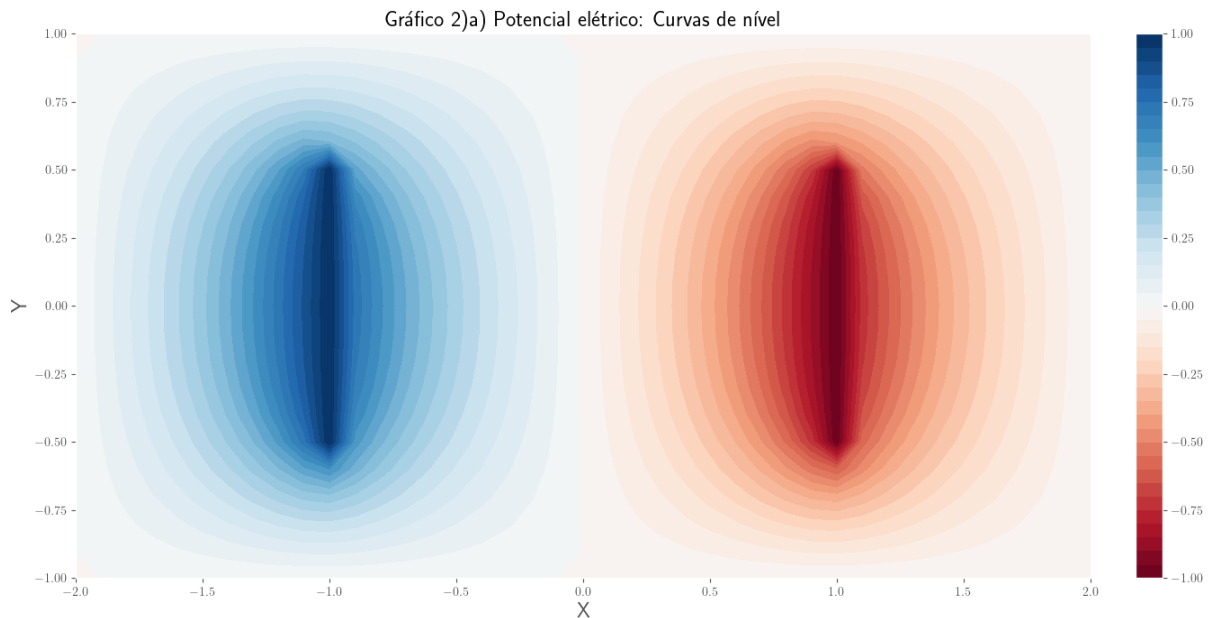


O programa foi feito de tal modo que a caixa com paredes  $V = 1$ , tem lado 2, centrada em 0, no plano  $XY$ . O quadrado preenchido com  $V = 0$  tem lado 1 também centrado na origem. Os resultados obtidos estão de acordo com o esperado e fazem sentido físico.

## 2. QUESTÃO 2: RETÂNGULO COM POTENCIAL $V=0$ NAS PAREDES COM PLACAS DE CAPACITOR NO INTERIOR, UMA COM POTENCIAL $V=1$ E OUTRA $V=-1$

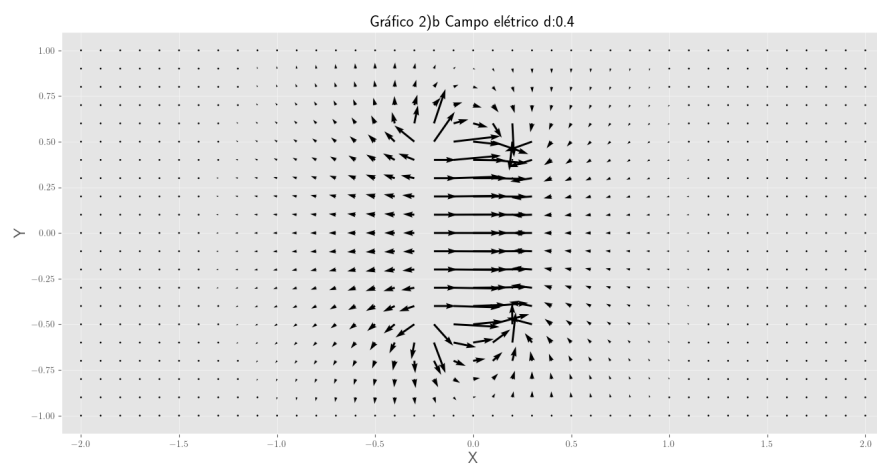
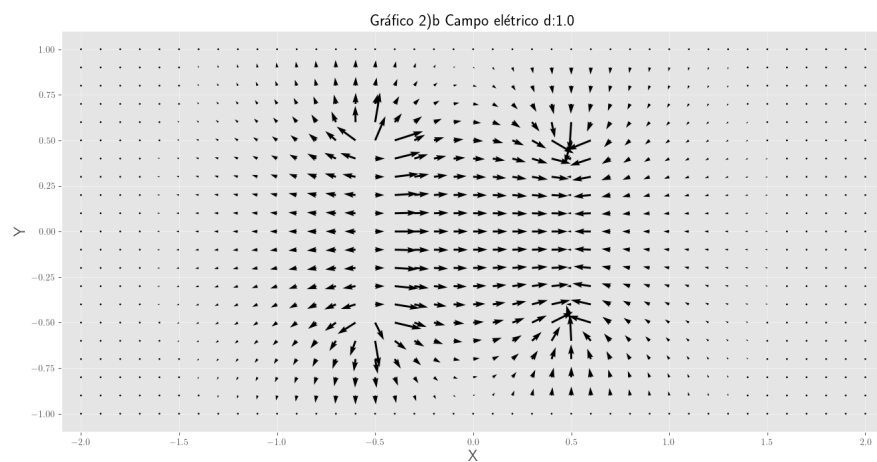
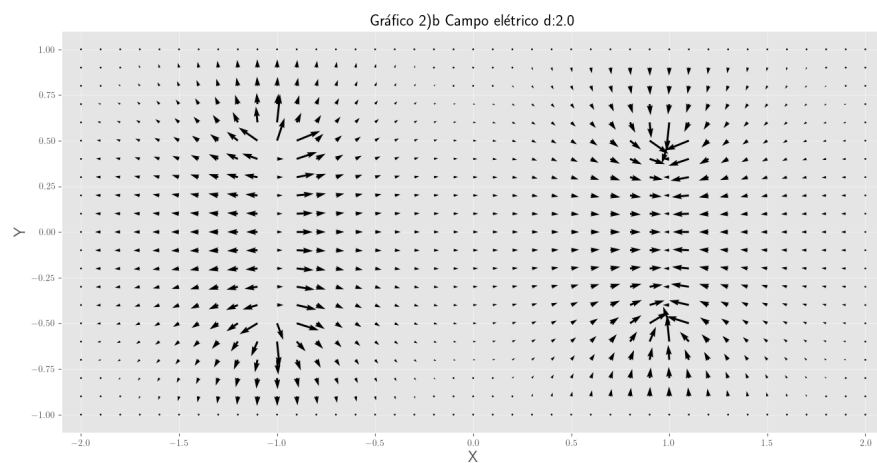
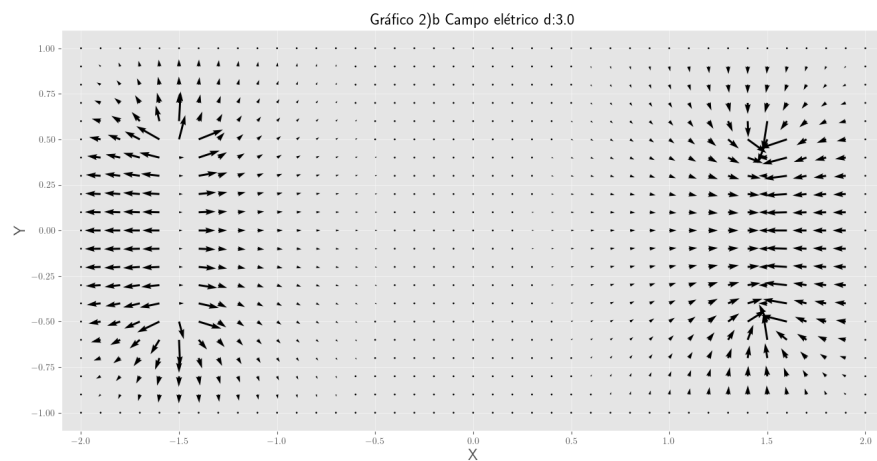
### 2.a. Potencial elétrico

Nessa questão foi utilizada uma caixa retangular com  $V = 0$  com dimensões  $(4 \times 2)$  centrada na origem do plano  $XY$ , com as placas do capacitor em  $x = -1$  com  $V = 1$  e  $x = 1$  com  $V = -1$ , respectivamente, para simular a Figura 1 da lista.



### 2.b. Campo elétrico em função de $d$

Sendo  $d$  a separação entre as placas do capacitor, queremos investigar a magnitude do campo elétrico na região entre as placas em função de  $d$ . Para isso vamos analisar os gráficos vetoriais do campo para as separações :  $d = \{3, 2, 1, 0.4\}$  abaixo. A intensidade do campo elétrico na região entre as placas pode ser representada pela tamanho da seta que aponta da esquerda para direita. O que vemos é que no começo, as placas afastadas, quase não há campo significativo na região. Porém a medida que as aproximamos o tamanho das setas fica maior e portanto, o campo elétrico mais intenso, como era de se esperar.

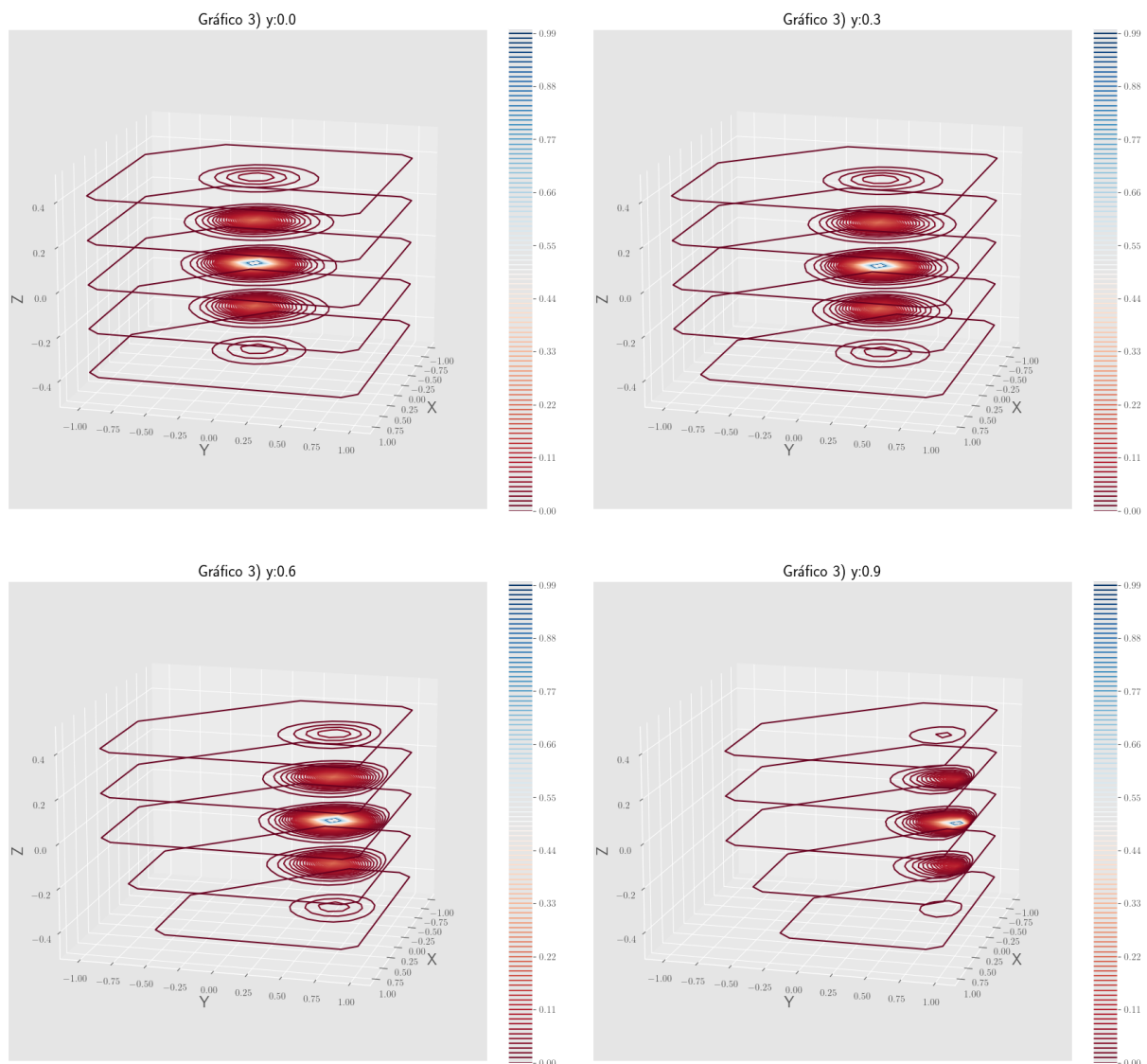


## 2.c. Bordas do capacitor

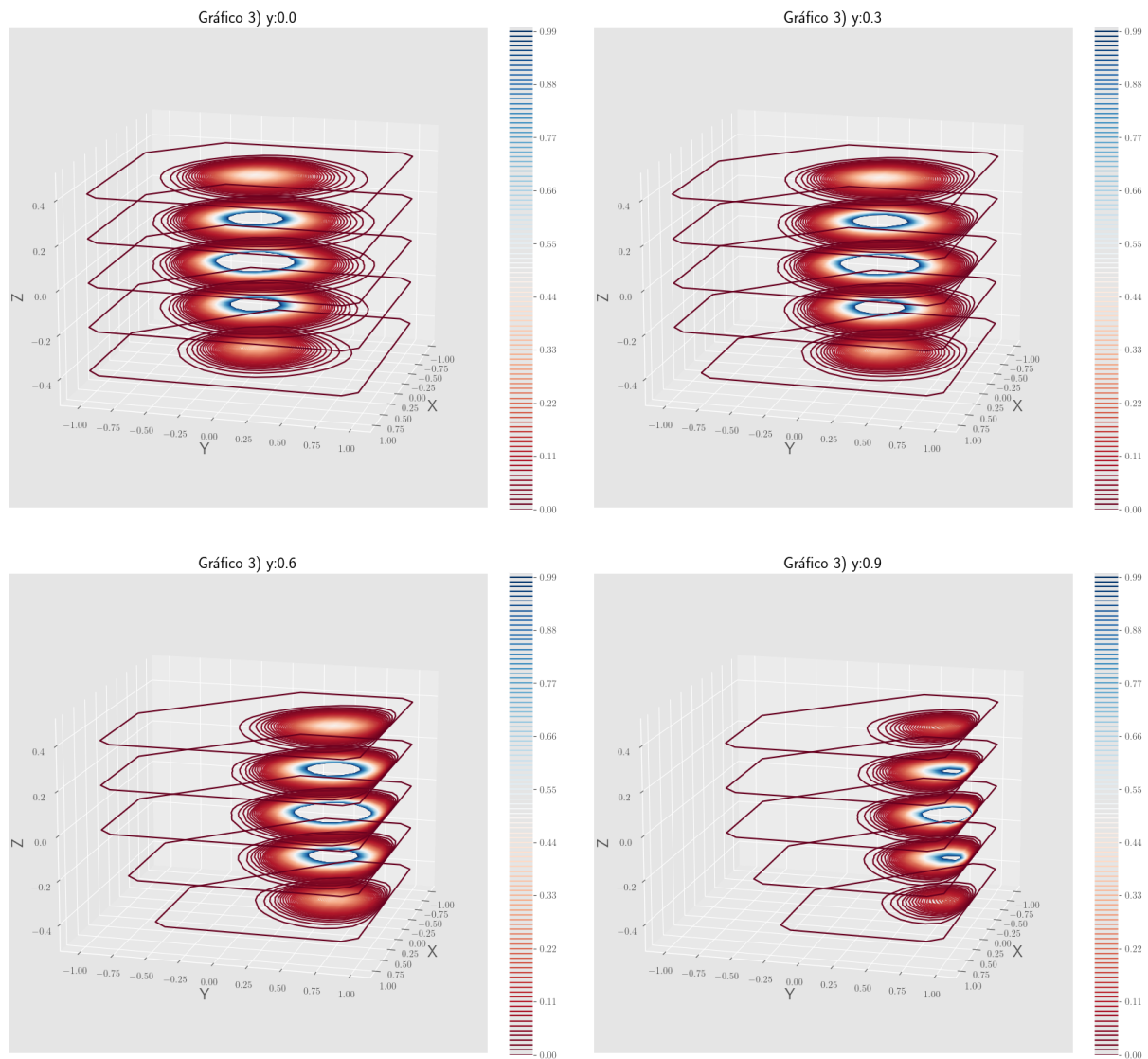
É perceptível que o campo elétrico nas bordas das placas do capacitor é muito mais intenso do que em pontos mais afastados. Esse comportamento é visto em todos os gráficos acima em que o tamanho das setas é muito maior perto das placas e em pontos mais afastados seu tamanho é praticamente desprezível próximos de um ponto. Isso ocorre porque o campo elétrico é uma função da distância, e também devemos considerar a condição de contorno que a caixa retangular tem paredes com potencial  $V = 0$ .

## 3. QUESTÃO 3: CARGA PONTUAL DENTRO DE UM CUBO DE PAREDES COM POTENCIAL $V=0$

Nessa questão estamos interessados no comportamento de curvas de equipotenciais em um plano  $XY$  (para um dado  $Z$ ) à medida que aproximamos uma carga pontual de carga  $Q$  da face de um cubo com potencial  $V = 0$  nas paredes. Aqui colocamos a carga pontual no centro em  $(x,y,z) = (0,0,0)$  e a aproximamos somente na direção  $y$ . Na verdade, escolhemos 5 fatias para analisar melhor o que acontece elas são  $z = \{-0.2, -0.4, 0, 0.2, 0.4\}$  e encontram-se abaixo:

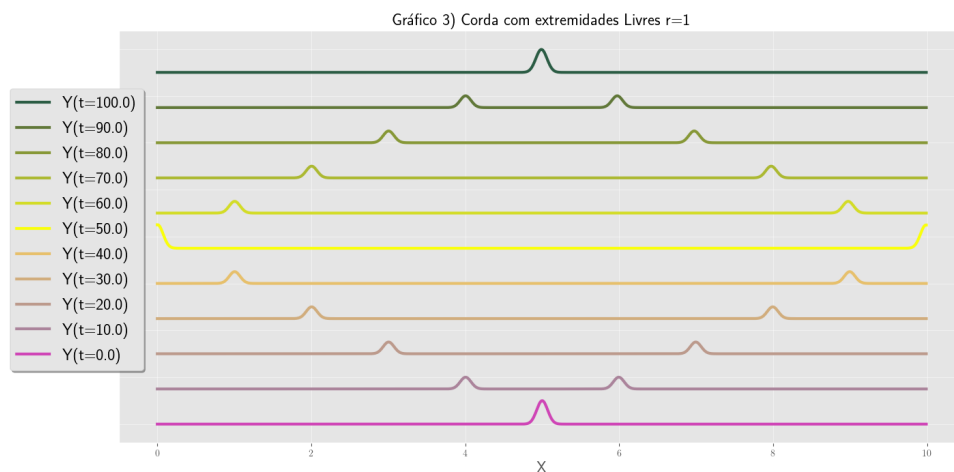


Para montar estes gráficos utilizamos uma distribuição de carga  $\rho(0,y_0,0) = 1$  onde  $y_0$  é o valor de  $y$  indicado nos títulos do gráfico. O cubo tem lado 2, centrado na origem. Para melhor análise podemos aumentar a carga e consequentemente o potencial produzido por esta carga  $Q$ . Os mesmos gráfico, só que para uma densidade  $\rho(0,y_0,0) = 10$ , seguem:



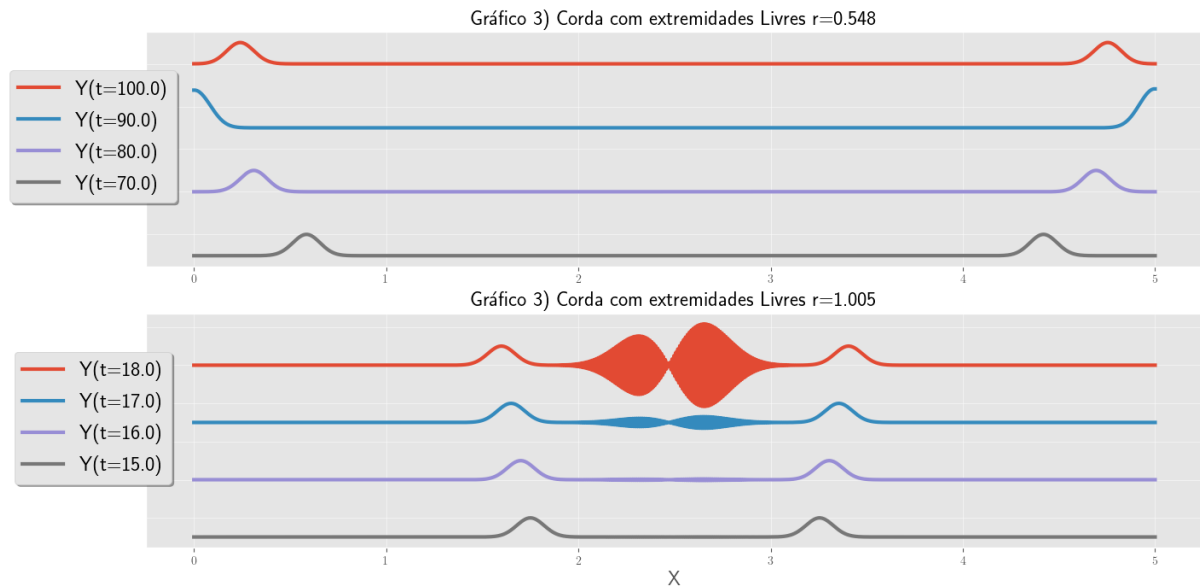
Aqui o efeito fica mais visível. A medida que aproximamos a carga da parede com  $V = 0$  do cubo, vemos uma diminuição do potencial produzido. Esse efeito fica nítido em todas as fatias. Outra coisa, é que nos gráficos onde a distância à face é menor, vemos uma deformação nas linhas equipotenciais. Estas que uma vez eram anéis circulares, agora têm um formato de *gota* ou *semente* com o lado próximo a parede mais *achatado*.

#### 4. QUESTÃO 4: ONDA NA CORDA COM EXTREMIDADES LIVRES



Para uma corda de comprimento  $L = 10$ , com extremidades livres temos o comportamento produzido numericamente, descrito no gráfico acima. A escolha foi feita de tal modo que o perfil inicial da corda é descrito por uma curva gaussiana, centrada no meio da corda. Aqui vemos uma evolução temporal do formato da corda que acontece de baixo para cima, como indicado pela legenda do gráfico. É possível ver que, diferentemente do caso apresentado em sala de aula, a onda refletida na extremidade não inverte.

O programa foi calculado com  $r = 1$ ,  $dt = 0.1$ ,  $Nx = 1000$ . Agora para  $r$  diferentes, vamos analisar os seguintes gráficos, para uma corda com  $L = 5$ :



Aqui temos inicialmente a situação de  $r < 1$ . Nesse caso, mostro somente alguns instantes em que ocorre a reflexão da onda, onde possivelmente poderiam ocorrer erros. Mas estes não são vistos. Aliás, para este valor de  $r$  temos um comportamento razoável para todos os instantes de tempo tomados. A diferença entre os instantes se dá ao fato de que  $r \propto v$ , portanto temos uma onda que se propaga mais lentamente.

No segundo caso temos  $r > 1$ . Aqui é nítido que o modelo não se ajusta bem, provocando uma deformação na corda que aumenta com o tempo. Esse comportamento divergente da amplitude da onda era esperado para um  $r > 1$  em que o nosso  $dx/dt < c$  e o algoritmo não é capaz de lidar com uma onda se propagando nessa velocidade. Nesse caso, a solução numérica falha.